

北大正森 明巨
北大正岸 力
北大院学 藤田育悦

1.はじめに

二次元移動床流れにおける dune の崩壊過程の解明は、transition 領域の抵抗、流砂量などを推定するうえに重要な問題であるがまだ充分な研究がなされていない。dune の崩壊は河床波の crest からの浮遊砂の発生と強く相関があると思われる。また、浮遊砂の発生には河床附近の流速が大きな要因とは思われるであろう。著者らは前年度の報告で、林⁽¹⁾の理論を応用して流速と砂面変動のスペクトラムの関係が(1)式で近似できることを示した。

$$S_{\eta}(k) = \left[\frac{2\pi U_0 k (\cosh 2\pi k y + 2\pi^2 k^2 h \sinh 2\pi k y)}{\sinh 2\pi k h - 2\pi^2 k^2 h \cosh 2\pi k h} \right]^2 S_y(k) \quad (1)$$

S_k, S_y ；それぞれ流速、河床波のスペクトラム、 U_0 ；平均流速。

$k = 1/\lambda$, λ ；波長、 h ；水深、 F ；フルード数

そこで、今年度は、河床波の崩壊過程を解明するための一歩として、dune のスペクトラムと水理量の関係を調べた。

2.スペクトラムの形状

芦田ら⁽²⁾は、河床波が dune の場合 zero up cross 法により定義される波高、波長の分布が Rayleigh 分布で近似できることを示した。著者らも新たに資料からこのことを確かめた。波高が Rayleigh 分布を示し、河床変動の分散 σ_y^2 と平均波高 \bar{A} の間に(2)式が成立する。この関係が図-1に示されている。

$$\bar{A} = 1.88 \sigma_y \quad (2)$$

また、dune の幾何学的形状は、上流側は緩勾配であり、下流側は直角に近い急傾斜をしており水理量によらず相似な形をしている。

以上の点から dune のスペクトラムは、 $\bar{A}, \bar{\lambda}$ （平均波長）を用いて普遍関数で表示できるものと予想される。

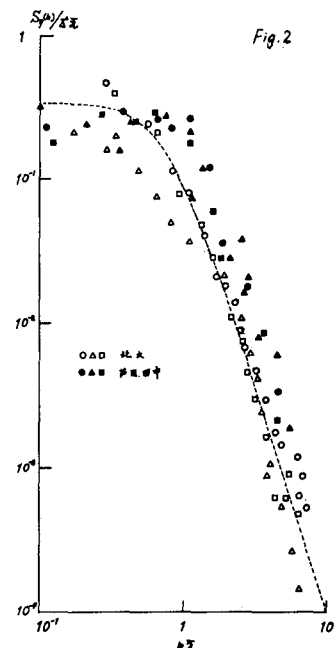
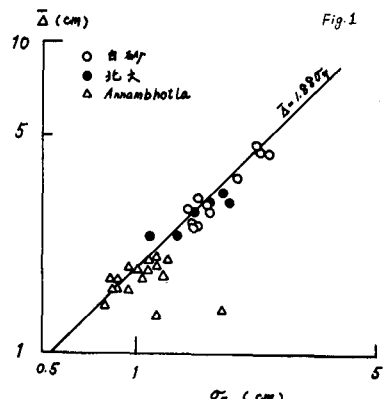
河床波スペクトラムの形状は、高波数域で日野⁽³⁾が導いた(3)式の関係が良く成立している。

$$S_y(k) \propto k^{-3} \quad (3)$$

一方、低波数域では peak の存在について若干の議論があるがまだ明確な結論はない。しかし、peak があったとしても dune の不規則性から考えそれがほど明確な peak は想定されない。また、本研究の目的には、peak の存在はそれほど重要な影響をもたらすと思われるので peak はないものとした。以上のことを考慮して、スペクトラムを(4)式の簡単な形で与えた。

$$S_y(k)/\bar{A}^3 \bar{\lambda} = \frac{3\sqrt{3}}{2\pi} \frac{\alpha C^2}{1 + (\alpha \bar{\lambda} k)^3} \quad (4)$$

ここで、 $C = 0.532$ であり、 α は実験定数である。図-2 にスペクトラムの実測値が示されている。図中の実線は、 $\alpha = 1.3$ としたときの(4)式の計算値である。図から(4)式が比較的良くスペクトラムを近似している。



がわかる。次に、 Δ 、 α と水理量の関係を調べた。

3. Δ 、 α と水理量の関係

以下の解析には Guy, Simons & Richardson⁽⁶⁾ の資料を用いた。

波長； dune 上の流れのスペクトラムが (4) 式で良く近似されるにから (5) 式の関係が予想され、 (6) 式が得られる。

$$f_1(\lambda, P_w, \alpha, g, V_m) = 0 \quad (5)$$

$$\lambda/R = f_2(F) \quad (6)$$

Jain & Kennedy⁽⁶⁾ は $\lambda/R = F^{\frac{2}{3}-2}$ は比例すると思われます。このことを考慮して資料を整理した結果 (7) を得た。 (7) 式によると (8) 式が得られた。

$$\lambda/R = AF^2 \quad (7)$$

4.3 A は粒径により変化する。粒径のみによる無次元量 $w_0/\sqrt{gk_s}$ (w_0 ：砂粒の沈降速度、 S ：砂粒の比重) との関係を求めると (8) 式が得られた。

$$A \propto (w_0/\sqrt{gk_s})^{-2} \quad (8)$$

(7), (8) 式より (9) 式が得られる。

$$\lambda/d = \beta(w_0/n_0)^2 \quad (9)$$

図-3 に (9) 式の関係が示されている。図から $\beta = 23$ とおくと λ/d の実測値と (9) 式による計算値が比較的良く対応するがわかる。

波高； 橋ら⁽⁷⁾ は、橋らによる河床波発生理論より得られる移動速度を用いて Δ を (10) 式で与えた。

$$\frac{\Delta}{\alpha} = \frac{1.33(1-F^2)\{(2\pi R/\lambda)^2 E^2 + 1\}}{5(2\pi R/\lambda)^2 EB + M + 2\alpha} \quad (10)$$

E ：流砂の非平衡を表すパラメーター、 $F = 3$ 、 $\alpha = 1/6$

図-4 に (10) 式による計算値と実測値の比較が示されている。

図によれば計算値は $\Delta/\alpha > 0.1$ の実測値に比べて大き目である。
(10) 式における F 、 α は河床波発生初期における v_k/k_s の関数であるが、上記の数値は $v_k/k_s \approx 20$ 程度に対応する。又、 M は河床での局所流速と剪断力との関係及び砂粒の移動機構とに関連する量であり $M = S$ を導びてある。これらの問題は未解決の点が多く、また、河床波の崩壊とその関連するので今後検討したい。いま、 v_k/k_s のかわりに Δ/d を用い、 $\Delta/d \approx 500$ とし $M = 0.5$ とすると図-5 が得られる。図によれば、 $\Delta/\alpha > 0.1$ の計算値と実測値が比較的良く一致している。

参考文献

- 1) 岸、森、土木学会第30回年講、1975年 2) 林、A.S.C.E. vol 96, HY2 1970年 3) 芦田、田中、京大防災研年報第10号 1967年 4) 日野、J.F.M. vol 24 1968年 5) Guy, Simons and Richardson, USGS Prof. paper 1966年
- 6) Jain and Kennedy, J.F.M. vol 63, 1974年 7) 橋、渡辺、「沖積地河川における河床形態と流体抵抗の研究」最終報告書 1975年

